

# Effiziente transiente Rauschanalyse in der Schaltungssimulation

Dipl.-Math. Thorsten Sickenberger



25. April 2008  
Humboldt-Universität zu Berlin

# 1. Rauschen in elektronischen Schaltungen

Technologie:

90nm → 75nm → 45nm → ...

Betriebsspannungen:

5V → 1.3V → ...



Quelle: www.qimonda.com

## Technologischer Fortschritt in der Mikroelektronik

- kleinere Bauteile
- höhere Nutzfrequenzen
- geringere Betriebsspannungen

→ verringertes Signal-Rausch-Verhältnis

## Transiente Rauschanalyse wird notwendig

- pfadweise Integration von SDAEs mit einer großen Anzahl kleiner Rauschquellen

$$A \frac{d}{dt} X(t) + f(t, X(t)) + \sum_{r=1}^m g_r(t, X(t)) \xi_r(t) = 0$$

- Adaptive Verfahren mit "hoher Ordnung"

## 2. Überblick

### 1 Einführung

- Modellierung elektronischer Schaltungen mit Rauschen
- Itô-SDEs und Index-1 Itô-SDAEs
- Zwei Konzepte: Schwache oder starke Approximation?

### 2 Adaptive Verfahren

- Lineare Zweischnitt-Maruyama-Verfahren mit variabler Schrittweite
- Numerische Stabilität, Konsistenz und Konvergenz im Quadratmittel
- Test-SDE mit polynomialer Drift und Diffusion

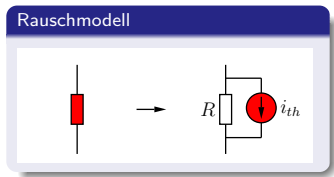
### 3 Lokale Fehlerschätzung und Schrittweitensteuerung

- Schätzung des dominierenden lokalen Fehlerterms im Quadratmittel
- Algorithmus zur Schrittweitensteuerung
- Anwendungsbeispiel: MOSFET-Inverter-Schaltung
- Anwendungsbeispiel: Spannungsgesteuerter Oszillator (VCO)

### 4 Geichzeitige Steuerung der Schrittweite und Pfadanzahl

- Stichprobenfehler und die effiziente Anzahl der Pfade
- Adaptive Pfadreduktion und -expansion
- Numerische Beispiele

### 3. Modellierung der Rauschquellen



Rauschen wird mittels einer externen Gaußschen Stromquelle modelliert.

- **Thermisches Rauschen in Widerständen**  
(thermische Bewegung)  
Nyquists Formel (1928):

$$i_{th}(t) = \underbrace{\sqrt{\frac{2kT}{R}}}_{\sigma_{th}} \xi(t),$$

Additives Rauschen,  
 $k = 1.3806 \times 10^{-23} [JK^{-1}]$

- **Schrot-Rauschen in Halbleiterübergängen**  
(Elementarladung)  
Schottkys Formel (1918):

$$i_{shot}(t, u(t)) = \underbrace{\sqrt{q_e |i_{det}(u(t))|}}_{\sigma_{shot}(u(t))} \xi(t),$$

Multiplikatives Rauschen,  
 $q_e = 1.602 \times 10^{-19} [C]$

## 4. Modellierung elektronischer Schaltungen mit Rauschen

### Gleichungen der modifizierten Knotenanalyse (MNA)

$$\begin{aligned} A_C q' + A_{RG}(A_R^T e, t) + A_{LJ} + A_V j_V + A_I i_S(e, j_L, j_V, t) \\ + A_N \text{diag}(\sigma(A_N^T e, t)) \xi(t) &= 0, \\ \phi' - A_L^T e &= 0, \\ A_V^T e - v_S(e, j_L, t) &= 0, \\ q - q_C(A_C^T e, t) &= 0, \\ \phi - \phi_L(j_L, t) &= 0. \end{aligned}$$

#### Unbekannte des Systems:

- $q$ : Ladungen,
- $\phi$ : Flüsse,
- $e$ : Knotenpotentiale,
- $j_L$ : Ströme durch Induktivitäten
- $j_V$ : Ströme durch Spannungsquellen

#### Bezeichner im Rauschterm:

- $\xi$ :  $m$ -dim. Gaußsches weißes Rauschen,
- $\sigma$ :  $m$ -dim. Vektor der Rauschintensitäten

## 4. Modellierung elektronischer Schaltungen mit Rauschen

### Gleichungen der modifizierten Knotenanalyse (MNA)

$$\begin{aligned}
 A_C q' + A_{RG}(A_R^T e, t) + A_L j_L + A_V j_V + A_I i_S(e, j_L, j_V, t) \\
 + A_N \text{diag}(\sigma(A_N^T e, t)) \xi(t) &= 0, \\
 \phi' - A_L^T e &= 0, \\
 A_V^T e - v_S(e, j_L, t) &= 0, \\
 q - q_C(A_C^T e, t) &= 0, \\
 \phi - \phi_L(j_L, t) &= 0.
 \end{aligned}$$

führt zur stochastischen Algebra-Differentialgleichung:

$$A \cdot X(s) \Big|_{t_0}^t - \int_{t_0}^t f(s, X(s)) ds - \int_{t_0}^t G(s, X(s)) dW(s) = 0,$$

mit  $X(t, \cdot) = X(t) = (q(t), \phi(t), e(t), j_L(t), j_V(t))^T \in \mathbb{L}_2(\Omega, \mathbb{R}^n)$  und  $A = \text{diag}(A_C, Id_L, 0, 0, 0)$ ,

$$f(t, X(t)) = - \begin{pmatrix} A_{RG}(A_R^T e, t) + A_L j_L + A_V j_V + A_I i_S(e, j_L, j_V, t) \\ -A_L^T e \\ A_V^T e - v_S(e, j_L, t) \\ q - q_C(A_C^T e, t) \\ \phi - \phi_L(j_L, t) \end{pmatrix}, \quad G(t, X(t)) := - \begin{pmatrix} A_N \text{diag}(\sigma(A_N^T e(t), t)) \\ 0 \\ 0 \\ 0 \\ 0 \end{pmatrix}$$

## 5. Itô-SDEs und Index-1 Itô-SDAEs

$$AX(s)|_{t_0}^t = \int_{t_0}^t f(s, X(s)) ds + \underbrace{\int_{t_0}^t G(s, X(s)) dW(s)}_{\sum_{r=1}^m \int_{t_0}^t g_r(s, X(s)) dW_r(s)}, \quad X(t_0) = X_0, \quad t \in \mathcal{J} = [t_0, T];$$

- Drift  $f : \mathcal{J} \times \mathbb{R}^n \rightarrow \mathbb{R}^n$ , Diffusion  $G = (g_1, \dots, g_m) : \mathcal{J} \times \mathbb{R}^n \rightarrow \mathbb{R}^{n \times m}$ ;
- $W$  ist  $m$ -dim. BB auf  $W$ -raum  $(\Omega, \mathcal{F}, P)$  mit Filtration  $\{\mathcal{F}_t\}_{t \in \mathcal{J}}$ ;
- $X_0$  ist ein  $\mathcal{F}_{t_0}$ -messbarer Anfangswert, unabh. von  $W$  und  $\mathbb{E}|X_0|^2 < \infty$ .

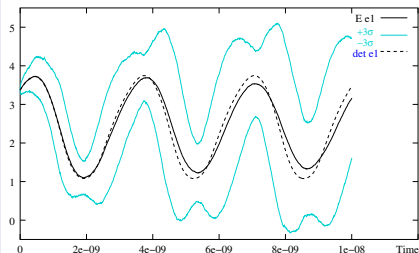
### Klassifizierung:

- $A = Id$ : **Itô-SDE**
- $A = Id$  und  $G = \epsilon \hat{G}$  ( $\epsilon \ll 1$ ): **Itô-SDE mit kleinem Rauschen**  
(Milstein/Tretyakov 1997 und 2004; Buckwar/Winkler 2006)
- $A$  singularär und algebr. Nebenbedingungen rauschfrei: **Index-1 Itô-SDAE**  
(Schein 1999, Winkler 2003)
- $A$  singularär, algebr. NB rauschfrei und  $G = \epsilon \hat{G}$ : **Index-1 Itô-SDAE mit kleinem Rauschen**

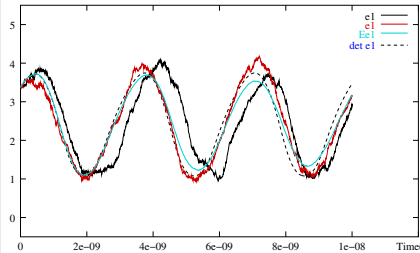
Wir nehmen an, es existiere eine pfadweise eindeutige starke Lösung.

## 6. Zwei Konzepte: Schwache oder starke Approximation?

### Berechnung der Momente (Erwartungswert, Varianz, ...)



### Simulation von Lösungspfaden



▷ Simulierte Pfade geben Auskunft über das Phasenrauschen

## 7. Adaptive Verfahren

### Lineare Zweischritt-Maruyama-Verfahren mit variabler Schrittweite

$$(A) \sum_{j=0}^2 \alpha_{j,\ell} X_{\ell-j} = h_\ell \sum_{j=0}^2 \beta_{j,\ell} f(t_{\ell-j}, X_{\ell-j}) + \sum_{j=1}^2 \gamma_{j,\ell} \sum_{r=1}^m g_r(t_{\ell-j}, X_{\ell-j}) I_r^{t_{\ell-j}, t_{\ell-j+1}},$$

$\ell = 2, \dots, N$ , Anfangswerte  $X_0, X_1 \in \mathbb{L}_2(\Omega, \mathbb{R}^n)$  sodass  $X_\ell$  ( $\ell = 0, 1$ )  $\mathcal{F}_{t_\ell}$ -messbar.

#### Notationen:

$$I_r^{t, t+h} = W_r(t+h) - W_r(t) \sim \mathcal{N}(0, h), \quad \kappa_\ell = h_\ell / h_{\ell-1}, \quad \mathbf{h} := \max_{\ell=1, \dots, N} h_\ell.$$

#### Globaler Fehler in $t_\ell$ :

$$e_\ell = \|X(t_\ell) - X_\ell\|_{\mathbb{L}_2} \text{ wobei } X(t) \in \mathbb{L}_2(\Omega) \text{ mit der Norm } \|X(t)\|_{\mathbb{L}_2} = (E|X(t)|^2)^{1/2}$$

#### Konvergenz im Quadratmittel mit Ordnung $\gamma$ ( $\gamma > 0$ ):

$$\max_{\ell=1, \dots, N} \|X(t_\ell) - X_\ell\|_{\mathbb{L}_2} \leq \mathbf{c} \mathbf{h}^\gamma \text{ f\"ur } \mathbf{h} \rightarrow 0.$$

Mehrschritt-Maruyama-Verfahren mit konstanter Schrittweite f\"ur SDEs: Buckwar/Winkler 2006

## 8. Numerische Stabilität und Konsistenz im Quadratmittel

### Stabilitätsungleichung

Voraussetzungen:  $f, g_r$  Lipschitz-stetig,  $g_r$  erfüllt eine lineare Wachstumsbed., zugehöriges Verfahren mit konstanter Schrittweite erfüllt Dahlquist's Wurzelbed.,  $\kappa \leq \kappa_\ell \leq K$  und  $\mathbf{h} \cdot N \leq a(T - t_0)$ .

Dann

$$\max_{\ell=1, \dots, N} \|X(t_\ell) - \tilde{X}_\ell\|_{\mathbb{L}_2} \leq S \left\{ \max_{\ell=0,1} \|X(t_\ell) - \tilde{X}_\ell\|_{\mathbb{L}_2} + \max_{\ell=2, \dots, N} \left( \frac{\|R_\ell\|_{\mathbb{L}_2}}{\mathbf{h}} + \frac{\sqrt{\sum_{j=1}^2 \|S_{j, \ell-j+1}\|_{\mathbb{L}_2}^2}}{\sqrt{\mathbf{h}}} \right) \right\},$$

für  $\mathcal{F}_{t_\ell}$ -messbare Störungen  $D_\ell = R_\ell + \sum_{j=1}^2 S_{j, \ell-j+1}$ , wobei  $S_{j, \ell-j+1}$  is  $\mathcal{F}_{t_{\ell-j+1}}$ -messbar ist und  $E(S_{j, \ell-j+1} | \mathcal{F}_{t_{\ell-j}}) = 0$  für alle  $\ell = 2, \dots, N$  und  $j = 1, 2$  gilt.

### Beweisskizze:

- Existenz und Eindeutigkeit der Lösung  $\tilde{X}$  des gestörten Systems
- $\mathbb{E}(\tilde{X}_\ell^2) < \infty$
- Herleitung der Stabilitätsungleichung

**Lokaler Fehler  $L_\ell$ :** Defekt der exakten Lösung im numerischen Verfahren

**Konvergenz:** Setze  $\tilde{X}_\ell = X_\ell$ ,  $D_\ell = L_\ell$  mit  $\|R_\ell\|_{\mathbb{L}_2} \leq c_R h_\ell^{\gamma+1}$  und  $\|S_\ell\|_{\mathbb{L}_2} \leq c_S h_\ell^{\gamma+\frac{1}{2}}$ .

Konsistenz im Quadratmittel

## 9. Wahl der Koeffizienten

- **Stabilität** ( $\alpha_j(\kappa_\ell) := \alpha_{j,\ell}$ ):  $|\alpha_2(\mathbf{1})| \leq 1$ ,  $\alpha_2(\mathbf{1}) \neq 1$
- **Konsistenz:**

$$\sum_{j=0}^2 \alpha_{j,\ell} = 0, \quad \alpha_{0,\ell} + \frac{1}{\kappa_\ell} (\alpha_{0,\ell} + \alpha_{0,\ell}) = \sum_{j=0}^2 \beta_{j,\ell}, \quad \alpha_{0,\ell} = \gamma_{1,\ell}, \quad \alpha_{0,\ell} + \alpha_{1,\ell} = \gamma_{2,\ell}.$$

$$\max_{\ell=0,\dots,N} \|X(t_\ell) - X_\ell\|_{\mathbb{L}_2} = \boxed{O(\mathbf{h} + \epsilon^2 \mathbf{h}^{1/2})} + O(\max_{\ell=0,1} \|X(t_\ell) - X_\ell\|_{\mathbb{L}_2})$$

- **det. Ordnung 2** (zusätzlich):

$$\left( \frac{1}{\kappa_\ell^2} + \frac{2}{\kappa_\ell} + 1 \right) \alpha_{0,\ell} + \frac{1}{\kappa_\ell^2} \alpha_{1,\ell} - \left( \frac{2}{\kappa_\ell} + 2 \right) \beta_{0,\ell} - \frac{2}{\kappa_\ell} \beta_{1,\ell} = 0.$$

$$\max_{\ell=0,\dots,N} \|X(t_\ell) - X_\ell\|_{\mathbb{L}_2} = \boxed{O(\mathbf{h}^2 + \epsilon \mathbf{h} + \epsilon^2 \mathbf{h}^{1/2})} + O(\max_{\ell=0,1} \|X(t_\ell) - X_\ell\|_{\mathbb{L}_2})$$

## 10. Verfahrensbeispiele für die transiente Rauschanalyse

- **Drift-implizites Euler-Maruyama Verfahren**

$$A(X_\ell - X_{\ell-1}) = h_\ell f(t_\ell, X_\ell) + \sum_{r=1}^m g_r(t_{\ell-1}, X_{\ell-1}) I_r^{t_{\ell-1}, t_\ell}$$

- **Stochastische Trapezregel**

$$A(X_\ell - X_{\ell-1}) = h_\ell \frac{1}{2} (f(t_\ell, X_\ell) + f(t_{\ell-1}, X_{\ell-1})) + \sum_{r=1}^m g_r(t_{\ell-1}, X_{\ell-1}) I_r^{t_{\ell-1}, t_\ell}$$

- **BDF<sub>2</sub>-Maruyama Verfahren**

$$A\left(X_\ell - \frac{(\kappa_\ell + 1)^2}{2\kappa_\ell + 1} X_{\ell-1} + \frac{\kappa_\ell^2}{2\kappa_\ell + 1} X_{\ell-2}\right) = h_\ell \frac{\kappa_\ell + 1}{2\kappa_\ell + 1} f(t_\ell, X_\ell) \\ + \sum_{r=1}^m g_r(t_{\ell-1}, X_{\ell-1}) I_r^{t_{\ell-1}, t_\ell} - \frac{\kappa_\ell^2}{2\kappa_\ell + 1} \sum_{r=1}^m g_r(t_{\ell-2}, X_{\ell-2}) I_r^{t_{\ell-2}, t_{\ell-1}}$$

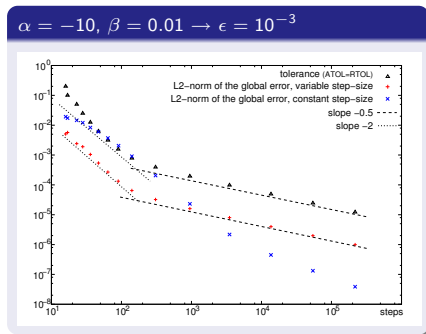
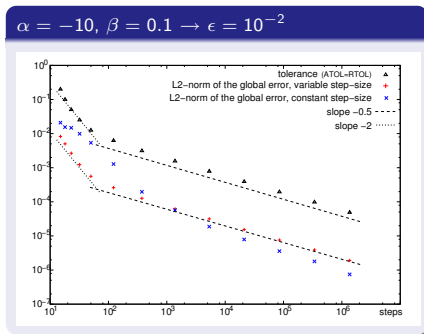
## 11. Test-SDE mit polynomialer Drift und Diffusion

$$X(t) = \int_0^t -(\alpha + \beta^2 X(s))(1 - X(s)^2) ds + \int_0^t \beta(1 - X(s)^2) dW(s), \quad t \in [0, 1],$$

Exakte Lösung:

$$X(t) = \frac{\exp(-2\alpha t + 2\beta W(t)) - 1}{\exp(-2\alpha t + 2\beta W(t)) + 1}$$

Simulationsergebnisse: BDF<sub>2</sub>-Maruyama-Verfahren, 100 Pfade



## 12. Lokale Fehlerschätzung mittels Defekt-Korrektur

Gaines/Lyons 1997; Mauthner 1999; Hofmann/Müller-Gronbach/Ritter 2000;  
Lamba 2003; Römisch/Winkler 2006 (kleines Rauschen)

### Fehlerschätzung mittels Defekt-Korrektur

Defekt eines Hilfsverfahrens mit det. Konvergenzordnung  $\bar{p} := p$  ( $\ell = 2, \dots, N$ )

$$D_\ell := \sum_{j=0}^2 \bar{\alpha}_{j,\ell} X_{\ell-j} - h_\ell \sum_{j=0}^2 \bar{\beta}_{j,\ell} f(t_{\ell-j}, X_{\ell-j}) - \epsilon \sum_{j=1}^2 \bar{\gamma}_{j,\ell} \sum_{r=1}^m \hat{g}_r(t_{\ell-j}, X_{\ell-j}) I_r^{t_{\ell-j}, t_{\ell-j+1}}$$

### Wie sind die Koeffizienten des Hilfsverfahrens zu wählen?

- $\bar{\alpha}_{j,\ell} = \alpha_{j,\ell}, j = 0, 1, 2 \rightarrow \bar{\gamma}_{j,\ell} = \gamma_{j,\ell}, j = 1, 2$
- Konsistenzbedingungen für  $\bar{p} = 2$
- $\bar{c}_\ell - c_\ell = 1$

$$D_\ell = h_\ell \cdot \left[ \frac{2\kappa_\ell}{\kappa_\ell + 1} f(t_\ell, X_\ell) - 2\kappa_\ell f(t_{\ell-1}, X_{\ell-1}) + \frac{2\kappa_\ell^2}{\kappa_\ell + 1} f(t_{\ell-2}, X_{\ell-2}) \right]$$

→ Schätzung des dominierenden lokalen Fehlerterms im Quadratmittel

## 13. Fehlerschätzer für SDEs und SDAEs (kleines Rauschen)

- Verfahren mit **det. Ordnung 1** (Römisch/Winkler 2006)

$$\begin{aligned}\|L_\ell\|_{\mathbb{L}_2} &= c_\ell \|D_\ell\|_{\mathbb{L}_2} = c_\ell h_\ell \left\| (f_\ell - f_{\ell-1}) \right\|_{\mathbb{L}_2} + O(h_\ell^3 + \epsilon h_\ell^{3/2} + \epsilon^2 h_\ell) \\ &\approx c_\ell h_\ell \sqrt{\frac{1}{M} \sum_{i=1}^M |(f_\ell^i - f_{\ell-1}^i)|^2} \quad \text{für } \boxed{h_\ell \gg \epsilon^2}\end{aligned}$$

- Verfahren mit **det. Ordnung 2**

$$\begin{aligned}\|L_\ell\|_{\mathbb{L}_2} &= c_\ell h_\ell \left\| \left( \frac{2\kappa_\ell}{\kappa_\ell + 1} f_\ell - 2\kappa_\ell f_{\ell-1} + \frac{2\kappa_\ell^2}{\kappa_\ell + 1} f_{\ell-2} \right) \right\|_{\mathbb{L}_2} + O(h_\ell^4 + \epsilon h_\ell^{3/2} + \epsilon^2 h_\ell) \\ &\approx c_\ell h_\ell \sqrt{\frac{1}{M} \sum_{i=1}^M \left| \left( \frac{2\kappa_\ell}{\kappa_\ell + 1} f_\ell^i - 2\kappa_\ell f_{\ell-1}^i + \frac{2\kappa_\ell^2}{\kappa_\ell + 1} f_{\ell-2}^i \right) \right|^2} \quad \text{für } \boxed{h_\ell \gg \epsilon^{2/3}}\end{aligned}$$

**Skalierungen** für Index-1 SDAEs:

- $\|L_\ell\|_{\mathbb{L}_2} = c_\ell \|D_\ell\|_{\mathbb{L}_2}$  für Toleranz zu  $AX$ ,
- $\|L_\ell\|_{\mathbb{L}_2} = c_\ell \|(A - h_\ell \beta_{0,\ell} J_\ell)^{-1} D_\ell\|_{\mathbb{L}_2}$  für Toleranz zu  $X$  oder
- $\|L_\ell\|_{\mathbb{L}_2} = c_\ell \|A^- D_\ell\|_{\mathbb{L}_2}$  für Toleranz zu  $PX$ .

## 14. Algorithmus zur Schrittweitensteuerung

- 1) Löse das System gleichzeitig für alle  $x_\ell^i$  ( $i = 1, \dots, M$  Anzahl der Pfade)

$$A \sum_{j=0}^2 \alpha_{j,\ell} x_{\ell-j}^i = h_\ell \sum_{j=0}^2 \beta_{j,\ell} f(t_{\ell-j}, x_{\ell-j}^i) + \sum_{j=1}^2 \gamma_{j,\ell} \sum_{r=1}^m g_r(t_{\ell-j}, x_{\ell-j}^i) i_r^{t_{\ell-j}, t_{\ell-j+1}}$$

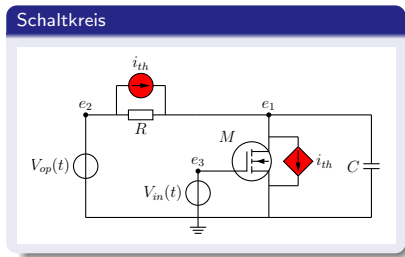
- 2) Berechne den Fehlerschätzer und die Toleranzen (komponentenweise)  
3) Benutze eine Steuerungsstrategie (z.B. PI34 mit Sicherheitsfaktor  $fac = 0.7$ ):

$$\frac{h_{new}}{h_\ell} := \min_{\nu=1, \dots, n} \left\{ \left( \frac{fac \cdot Tol_\nu}{L_{\ell, \nu}} \right)^{\frac{0.3}{2+1}} \left( \frac{L_{\ell-1, \nu}}{L_{\ell, \nu}} \right)^{\frac{0.4}{2+1}} \right\}.$$

- 4) Falls  $L_{\ell, \nu} \leq Tol_\nu$  für alle  $\nu = 1, \dots, n$ , akzeptiere den Schritt. Falls  $t_\ell > T$ , stoppe, ansonsten setze  $\ell := \ell + 1$ ,  $h_\ell := h_{new}$  und gehe zu 1).

Falls  $L_{\ell, \nu} > Tol_\nu$  für mindestens eine Komponente  $\nu \in \{1, \dots, n\}$ , verwerfe den Schritt und wiederhole ihn mit kleinerer Schrittweite  $h_\ell := h_{new}$ .

## 15. Anwendungsbeispiel: MOSFET-Inverter-Schaltung



Parameter der Schaltung:

$C = 2 \cdot 10^{-13}$  [F],  $R = 5 \cdot 10^3$  [ $\Omega$ ],  $V_{op} = 5$  [V], Zeitintervall  $\mathcal{J} = [0, 2.5 \cdot 10^{-8}]$  [s].

Parameter der Simulation:

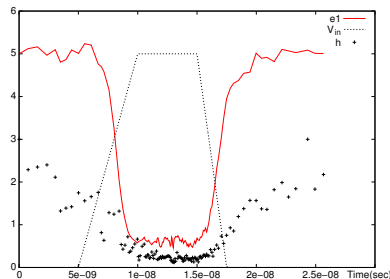
Toleranzen:  $RTOL = 10^{-2}$ ,  $ATOL = C \cdot RTOL$ .

Rausch-Intensitäten skaliert mit Faktor 1000.

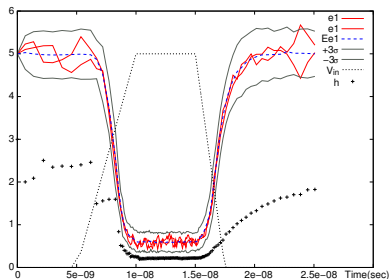
## 16. Anwendungsbeispiel: MOSFET-Inverter-Schaltung (2)

Simulationsergebnisse für einen und 100 simultan berechnete Pfade:  
(BDF<sub>2</sub>-Maruyama-Verfahren)

1 Pfad:  
127 (+29 abgelehnte) Schritt



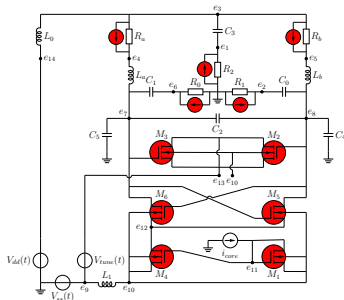
100 Pfade:  
134 (+11 abgelehnte) Schritt



Drift-implizites Euler-Maruyama-Verfahren benötigt 188 (+ 46) bzw. 166 (+ 9) Schritte.

# 17. Anwendungsbeispiel: Spannungsgesteuerter Oszillator (VCO)

## VCO Schaltkreis



Wir betrachten einen **VCO** mit

- 5 rauschenden Widerständen und
- 6 rauschenden MOSFETs

▷ 47 Rauschquellen

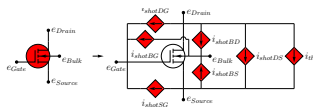
Die **Unbekannten** sind

- Ladungen der 6 Kapazitäten,
- Flüsse der 4 Induktivitäten,
- 13 Knotenpotentiale und
- Ströme durch die Spannungsquellen.

**Test-Konfiguration:**

- ~ 1.2 GHz Oszillation
- Skalierung der Rauschintensitäten mit Faktor 500.

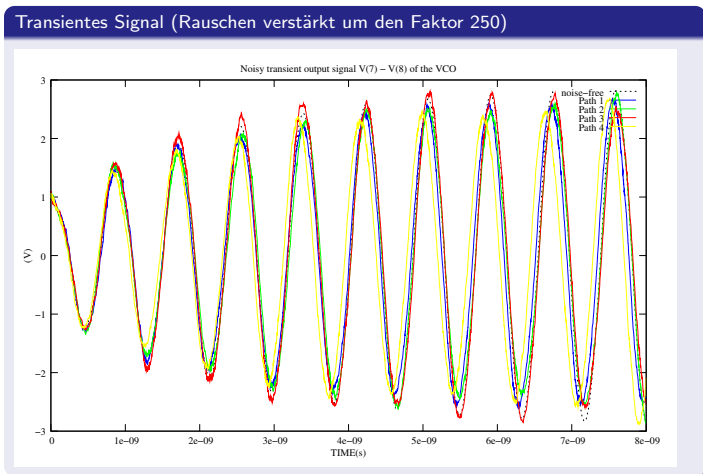
## Rauschquellen eines MOSFETs



## 18. Anwendungsbeispiel: VCO - Rauschendes transientes Signal

Simulationsergebnis:

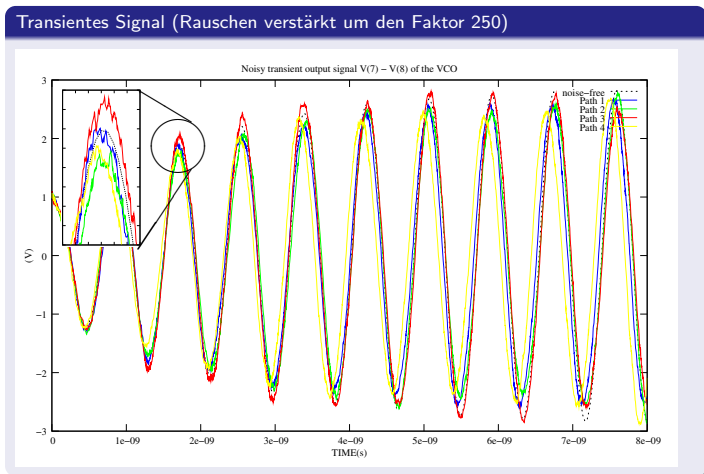
(rauschfreie Simulation und 4 Pfade zu verschiedenen Rauschrealisierungen)



## 18. Anwendungsbeispiel: VCO - Rauschendes transientes Signal

Simulationsergebnis:

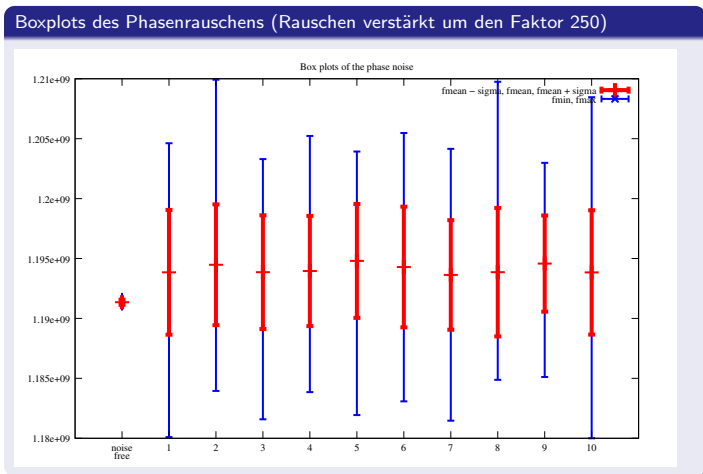
(rauschfreie Simulation und 4 Pfade zu verschiedenen Rauschrealisierungen)



## 19. Anwendungsbeispiel: VCO - Analyse des Phasenrauschens

Simulationsergebnis:

(rauschfreie Simulation und 10 Pfade zu verschiedenen Rauschrealisierungen)



## 20. Effiziente Anzahl der Pfade

Approximation der  $\mathbb{L}_2$ -Norm durch  $M$  simultan berechnete Pfade:

$$\hat{\eta}_\ell = c_\ell h_\ell \sqrt{\frac{1}{M} \sum_{i=1}^M \left( \chi(x_\ell^i, \dots, x_{\ell-p}^i) \right)^2} \approx c_\ell h_\ell \|\chi(X_\ell, \dots, X_{\ell-p})\|_{\mathbb{L}_2} = \eta_\ell$$

Somit

$$\|L_\ell\|_{\mathbb{L}_2} = \eta_\ell + O(h_\ell^{p+2} + \epsilon h_\ell^{3/2} + \epsilon^2 h_\ell) = \hat{\eta}_\ell + \vartheta_\ell + \underbrace{O(h_\ell^{p+2} + \epsilon h_\ell^{3/2} + \epsilon^2 h_\ell)}_{\text{Terme 'höherer Ordnung'}}$$

mit Fehlerschätzer  $\hat{\eta}_\ell = O(h_\ell^{p+1})$  und Stichprobenfehler  $\vartheta_\ell = O(M^{-1/2})$ .

Lemma: (Stichprobenfehler)

Sei  $\hat{\eta}_\ell$  ein Schätzer für die  $\mathbb{L}_2$ -Norm des lokalen Fehlerschätzers  $\eta_\ell$ . Dann kann der Stichprobenfehler berechnet werden mittels

$$\vartheta_\ell = \sqrt{\frac{1}{M} \frac{\hat{\mu}^2 \cdot \hat{\sigma}^2}{\hat{\mu}^2 + \hat{\sigma}^2}},$$

wobei  $\hat{\mu} = c_\ell h_\ell \frac{1}{M} \sum_{i=1}^M \chi(x_\ell^i, \dots, x_{\ell-p}^i)$  und  $\hat{\sigma}^2 = c_\ell^2 h_\ell^2 \frac{1}{M-1} \left( \sum_{i=1}^M \chi(x_\ell^i, \dots, x_{\ell-p}^i)^2 - M \hat{\mu}^2 \right)$ .

## 20. Effiziente Anzahl der Pfade

Approximation der  $\mathbb{L}_2$ -Norm durch  $M$  simultan berechnete Pfade:

$$\hat{\eta}_\ell = c_\ell h_\ell \sqrt{\frac{1}{M} \sum_{i=1}^M \left( \chi(x_\ell^i, \dots, x_{\ell-p}^i) \right)^2} \approx c_\ell h_\ell \|\chi(X_\ell, \dots, X_{\ell-p})\|_{\mathbb{L}_2} = \eta_\ell$$

Somit

$$\|L_\ell\|_{\mathbb{L}_2} = \eta_\ell + O(h_\ell^{p+2} + \epsilon h_\ell^{3/2} + \epsilon^2 h_\ell) = \hat{\eta}_\ell + \vartheta_\ell + \underbrace{O(h_\ell^{p+2} + \epsilon h_\ell^{3/2} + \epsilon^2 h_\ell)}_{\text{Terme 'höherer Ordnung'}}$$

mit Fehlerschätzer  $\hat{\eta}_\ell = O(h_\ell^{p+1})$  und Stichprobenfehler  $\vartheta_\ell = O(M^{-1/2})$ .

**Theorem: (effiziente Anzahl an Pfaden)**

Sei  $\text{STOL}_\ell$  eine Toleranz für den Stichprobenfehler  $\vartheta_\ell$  zur Zeit  $t_\ell$ , also  $\vartheta_\ell \leq \text{STOL}_\ell$ , dann ist die **effiziente Anzahl an Pfaden** gegeben durch

$$M_{\text{eff}} = \left\lfloor \frac{1}{\text{STOL}_\ell^2} \frac{\hat{\mu}^2 \cdot \hat{\sigma}^2}{(\hat{\mu}^2 + \hat{\sigma}^2)} \right\rfloor.$$

## 21. Simultane Steuerung der Zeit-Schrittweite und Pfadanzahl

Baumartige Approximation des Lösungsprozesses:

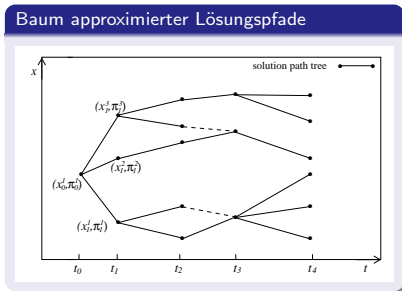
- **Initialisierung** (zum Zeitpunkt  $t_0 = 0$ ):  
 $I_0 := \{1, \dots, M_0\}$  Indexmenge der Pfade  
 $\pi_0^i = 1/M_0$  ( $i \in I_0$ ) Gewichte, ( $\sum_{i \in I_\ell} \pi_0^i = 1$ )  
Setze  $\ell = 1$  und sei  $h_1$  die Startschrittweite
- **Numerische Integration:**  
Benutze ( $M_\ell = |I_\ell|$ )

$$\hat{\eta}_\ell = c_\ell h_\ell \sqrt{\sum_{i \in I_\ell} \pi_\ell^i (\chi(x_\ell^i, \dots, x_{\ell-p}^i))^2}.$$

- **Konstruktion der baumartigen Approximation:**  
Berechne die effiziente Anzahl  $M_{\ell+1}$ :

$$M_{\ell+1} = \left\lceil \frac{1}{\text{STOL}_\ell^2} \frac{\hat{\mu}^2 \cdot \hat{\sigma}^2}{(\hat{\mu}^2 + \hat{\sigma}^2)} \right\rceil$$

wobei  $\text{STOL}_\ell$  eine Toleranz für den Stichprobenfehler  $\vartheta_\ell$  ist.



## 22. Pfadreduktion und -expansion

- $M_{\ell+1} = M_\ell$ : keine Veränderung der Indexmenge oder Gewichtung
- $M_{\ell+1} < M_\ell$ : Pfadreduktion ( $J$  Indexmenge der verworfenen Pfade)

$$\min \left\{ \sum_{j \in J} \pi_\ell^j \min_{i \in I_\ell \setminus J} d_\ell^2(x^i, x^j) : J \subset I_\ell, |J| = M_\ell - M_{\ell+1} \right\}$$

Opt. Indexmenge und Neuverteilung:  $I_{\ell+1} = I_\ell \setminus J$ ,  $\pi_{\ell+1}^i = \pi_\ell^i + \sum_{j \in J} \pi_\ell^j$ ,  $i \in I_{\ell+1}$ .

- $M_{\ell+1} > M_\ell$ : Pfadexpansion ( $J$  Indexmenge der ergänzten Pfade)

$$\min \left\{ \sum_{i \in I_\ell} \frac{\pi_\ell^i}{y_i} \sum_{j=1}^{M_{\ell+1}-M_\ell} z_{i,j} \min_{k \in I_\ell} d_{\ell+1}^2(x^k, x^{i,j}) : z_{i,j} \in \{0, 1\}, y_i = \sum_{j=1}^{M_{\ell+1}-M_\ell} z_{i,j} \geq 1 \forall i, \sum_{i \in I_\ell} z_{i,j} = 1 \forall j \right\}$$

Opt. Indexmenge und Neuverteilung:  $I_{\ell+1} = I_\ell \cup J$ ,  $\pi_{\ell+1}^i = \frac{1}{y_{j(i)}} \pi_\ell^{j(i)}$ ,  $i \in I_{\ell+1}$ .

$d_\ell(x^i, x^j)$  ist Semimetrik auf  $\mathbb{R}^{(\ell+1)n}$  – Distanz zwischen zwei approximierten Lösungspfaden bzgl. der Zeitpunkte  $t_\ell, \dots, t_{\ell-p}$ .

Gelbrich 1995; Dupačová/Gröwe-Kuska/Römisch 2003; Heitsch/Römisch 2005

## 23. Numerische Beispiele

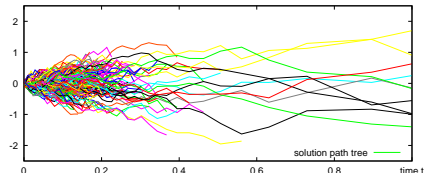
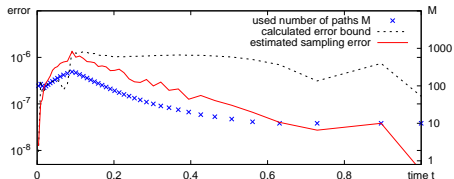
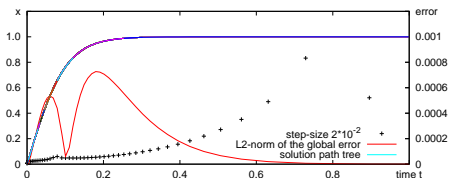
Simulationsergebnis für die Test-SDE:

Lösungspfade, →  
globaler Fehler und  
verwendete Schrittweiten

Anzahl der Pfade  $M_\ell$ , →  
Stichprobenfehler und  
seine Toleranz

simulierte  
Brownsche Bewegung →

### Test-SDE

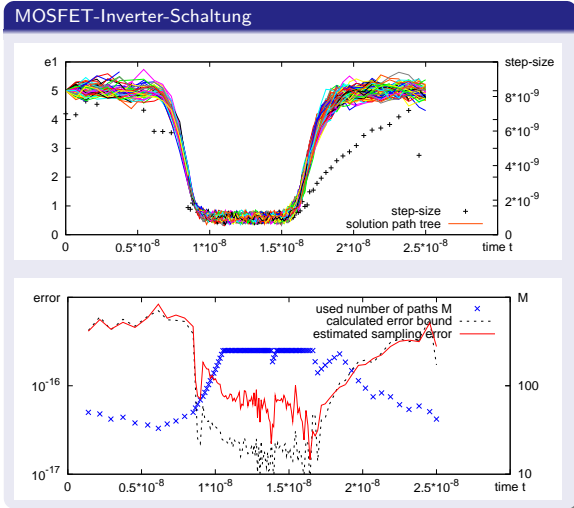


## 24. Anwendungsbeispiel

Simulationsergebnis für die MOSFET-Inverter-Schaltung:

Lösungspfade →  
und Schrittweiten

Anzahl der Pfade  $M_\ell$ , →  
Stichprobenfehler und  
seine Toleranz



## 25. Zusammenfassung

- Motivation: Transiente Rauschanalyse in der Schaltungssimulation
- Modellierung führt zu stochastischen Algebro-Differentialgleichungen mit kleinem Rauschen
- Vollständige Theorie zur numerischen Stabilität, Konsistenz und Konvergenz im Quadratmittel für stochastische lineare Mehrschritt-Verfahren mit variabler Schrittweite.
- Für kleines Rauschen: Schrittweitensteuerung basierend auf einem einfach zu berechnenden Schätzer des dominierenden lokalen Diskretisierungsfehlers
- Erheblicher Effizienzgewinn bei der Approximation von SDEs und SDAEs mit kleinem Rauschen
- Simultane Steuerung der Zeit- und Zufalldiskretisierung in einer Approximation (führt zu einer baumartigen Struktur von Lösungspfaden)
- Implementierung ist verfügbar in TITAN (Qimonda's in-house analoger Schaltungssimulator)

**Vielen Dank für die Aufmerksamkeit.**

**Kontakt:**



Thorsten Sickenberger

Universität zu Köln, Mathematisches Institut

Weyertal 86-90, 50931 Köln, Germany

Home: <http://www.mi.uni-koeln.de/~sickenbe/>

E-Mail: [sickenberger@math.uni-koeln.de](mailto:sickenberger@math.uni-koeln.de)